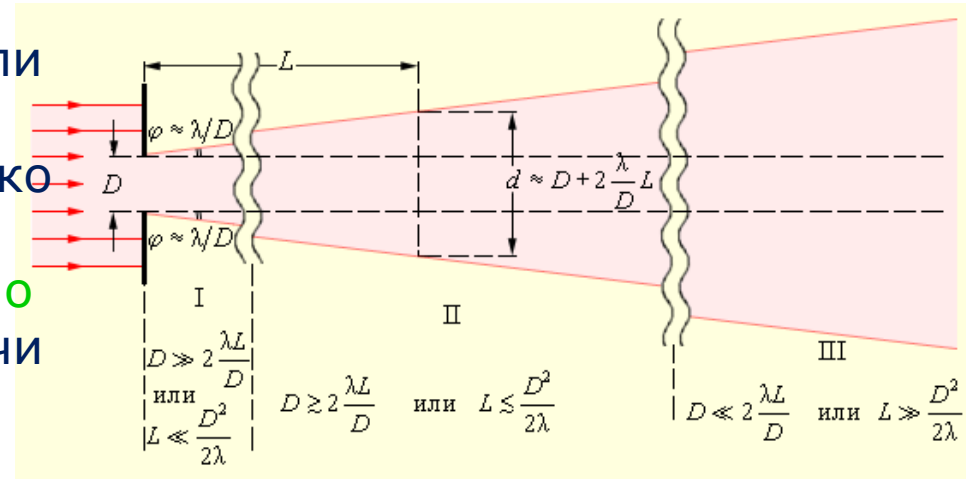


Оптика

Лекция 13

ДИФРАКЦИЯ ФРАУНГОФЕРА

Различают два вида дифракции. Если источник света и точка наблюдения расположены друг от друга настолько далеко, что световые лучи можно считать параллельными, то говорят о дифракции Фраунгофера. Если лучи нельзя считать параллельными, то говорят о дифракции Френеля.



Жан Огюстен Френель
1788 – 1827
французский физик



Йозеф Фраунгофер
1787 – 1826
немецкий физик

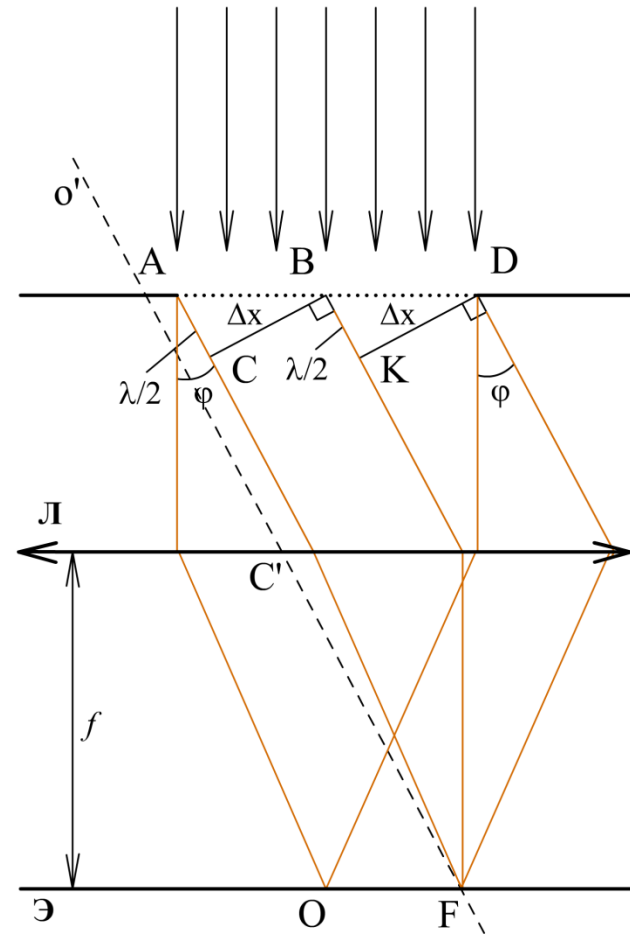
Интегралы Френеля и Фраунгофера

$$U(x, y, z) = \frac{e^{ikz}}{i\lambda z} \int_{-\infty}^{\infty} \int_{-\infty}^{\infty} U(x', y', 0) \exp\left(\frac{ik[(x-x')^2 + (y-y')^2]}{2z}\right) dx' dy'$$

$$U(x, y, z) =$$

$$\frac{e^{ikz}}{i\lambda z} e^{\frac{ik(x^2 + y^2)}{2z}} \int_{-\infty}^{\infty} \int_{-\infty}^{\infty} u(x', y', 0) \exp\left(\frac{-ik[xx' + yy']}{z}\right) dx' dy'$$

ДИФРАКЦИЯ ФРАУНГОФЕРА ОТ ЩЕЛИ



Пусть на длинную щель (длина много больше ширины щели) перпендикулярно к ней падает плоская световая волна.

Поместим за щелью собирающую линзу, а в ее фокальной плоскости экран. Плоскости щели, линзы и экрана параллельны друг другу.

Разобьем открытую часть волновой поверхности на параллельные краям щели элементарные прямоугольные зоны шириной dx .

Вторичные волны, посылаемые зонами под углом φ к оптической оси системы, соберутся на экране в определенной точке F .

Каждая элементарная зона создает в точке F свой вклад в результирующее колебание

$$dE_{\varphi} = dA_{\varphi} \exp \left[i(\omega t + \alpha_{\varphi}) \right].$$

ДИФРАКЦИЯ ФРАУНГОФЕРА ОТ ЩЕЛИ

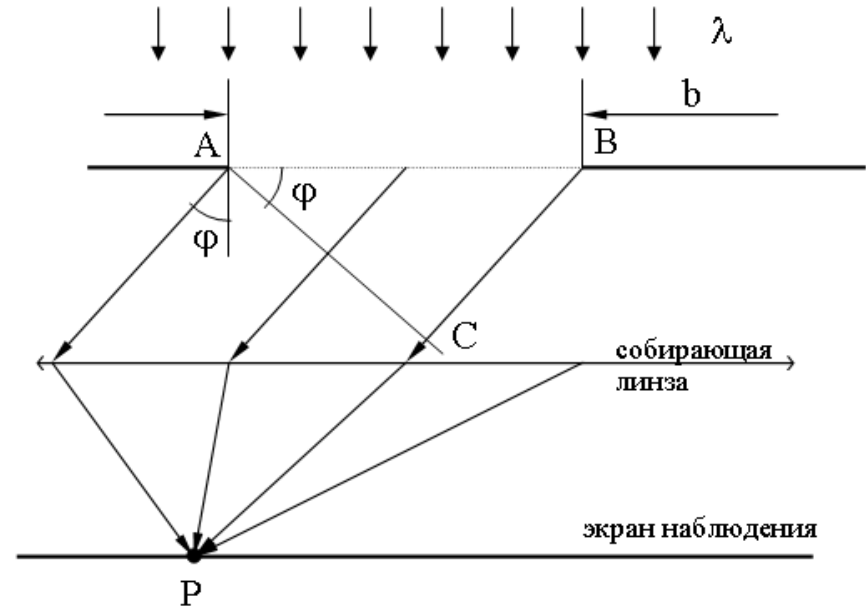
Ограничившись рассмотрением малых углов дифракции φ , можно считать, что амплитуда колебаний создаваемая элементарной зоной одинакова по разным направлениям.

Тогда амплитуда колебания каждой элементарной зоны в любой точке экрана будет зависеть только от площади зоны, пропорциональной ширине зоны dx , то есть

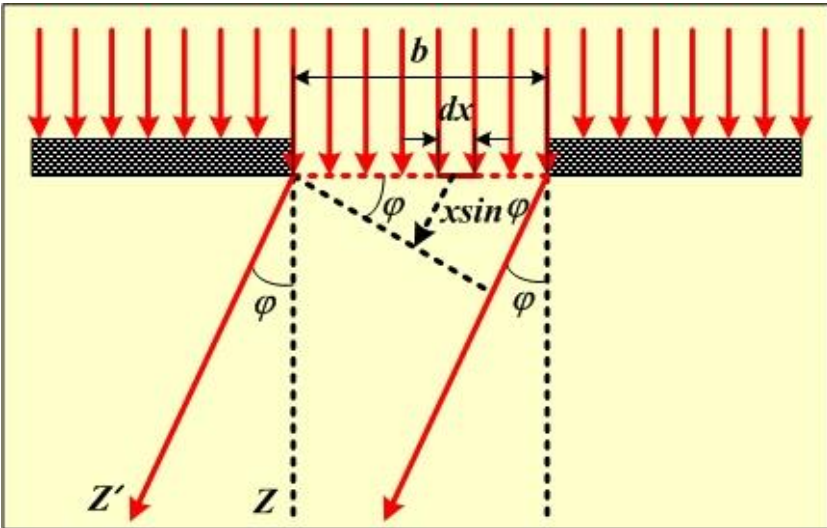
$$dA_{\varphi} = dA = Cdx, \quad C = \text{const.}$$

Обозначим алгебраическую сумму амплитуд колебаний, возбуждаемых в некоторой точке экрана всеми зонами через A_0 . Найдем эту амплитуду, проинтегрировав вклады dA по всей ширине щели b :

$$A_0 = \int dA = \int_0^b Cdx = C \int_0^b dx = Cb \Rightarrow \quad C = \frac{A_0}{b} \Rightarrow \quad dA = \frac{A_0}{b} dx.$$



ДИФРАКЦИЯ ФРАУНГОФЕРА ОТ ЩЕЛИ



Мы установили, что всякая элементарная зона создает в точке наблюдения на экране свое колебание вида

$$dE_{\varphi} = \frac{A_0}{b} dx \exp \left[i(\omega t + \alpha_{\varphi}) \right].$$

Теперь определим фазовые соотношения между колебаниями dE_{φ} , для зон с различными координатами x .

Пусть будет нулевой начальная фаза колебания, возбуждаемого в точке наблюдения на экране элементарной зоной, расположенной на щели в точке с координатой $x = 0$.

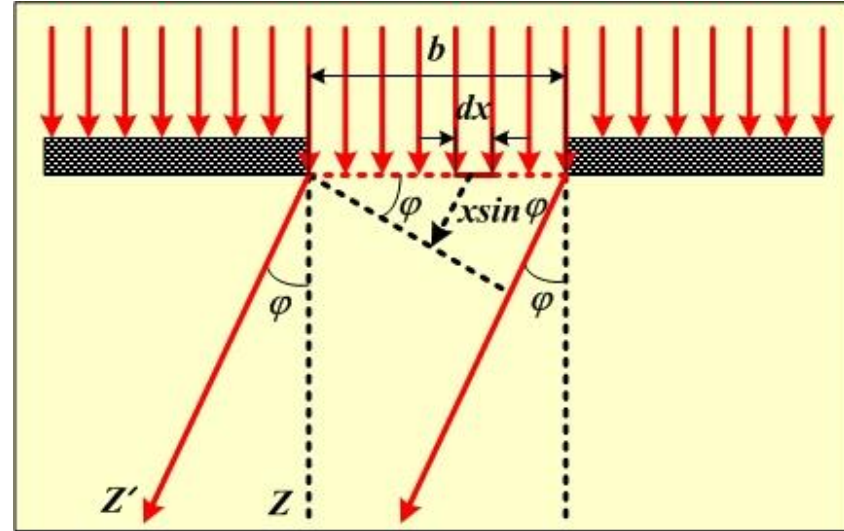
Тогда для элементарной зоны в точке с координатой x отставание по фазе будет формироваться на разности хода $\Delta = x \sin \varphi$. Таким образом

$$\alpha_{\varphi} = -\frac{2\pi}{\lambda} \Delta = -\frac{2\pi}{\lambda} x \sin \varphi \Rightarrow dE_{\varphi} = \frac{A_0}{b} dx \exp \left[i \left(\omega t - \frac{2\pi}{\lambda} x \sin \varphi \right) \right].$$

ДИФРАКЦИЯ ФРАУНГОФЕРА ОТ ЩЕЛИ

Колебание, возбуждаемое элементарной зоной с координатой x в точке экрана, положение которой определяется углом φ , может быть представлено в виде

$$dE_{\varphi} = \frac{A_0}{b} dx \exp \left[i \left(\omega t - \frac{2\pi}{\lambda} x \sin \varphi \right) \right]$$



(имеется в виду вещественная часть этого выражения).

Результирующее колебание, возбуждаемое в точке наблюдения на экране всей щелью, найдем в результате интегрирования по ширине щели:

$$E_{\varphi} = \int_{-b/2}^{+b/2} \frac{A_0}{b} \exp \left[i \left(\omega t - \frac{2\pi}{\lambda} x \sin \varphi \right) \right] dx.$$

Для упрощения вычисления интеграла точка $x = 0$ помещена в середину щели.

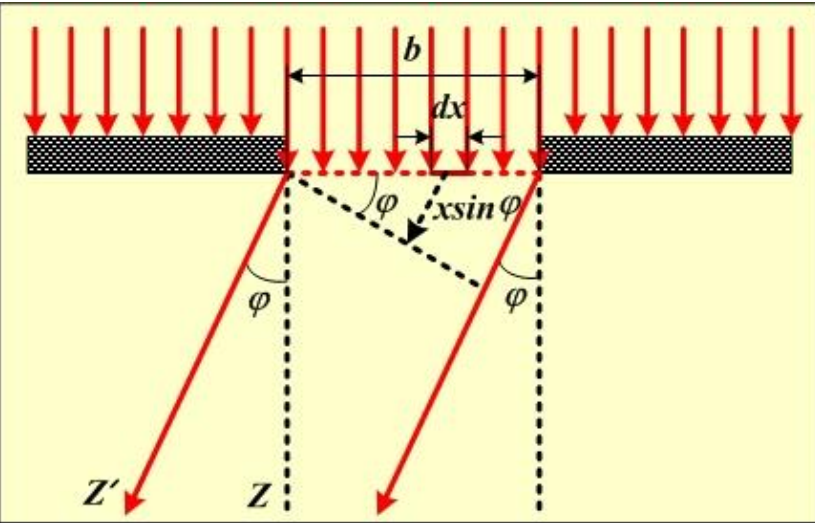
Введем обозначение $\gamma \equiv \frac{\pi}{\lambda} \sin \varphi$,

тогда интеграл примет вид

$$E_{\varphi} = \frac{A_0}{b} \int_{-b/2}^{+b/2} \exp(i\omega t) \exp(-2i\gamma x) dx \Rightarrow$$

$$E_{\varphi} = \frac{A_0}{b} \exp(i\omega t) \int_{-b/2}^{+b/2} \exp(-2i\gamma x) dx.$$

ДИФРАКЦИЯ ФРАУНГОФЕРА ОТ ЩЕЛИ



Для результирующего колебания, создаваемого волнами идущими от щели под углом φ к оптической оси системы, получено интегральное выражение

$$E_{\varphi} = \frac{A_0}{b} \exp(i\omega t) \int_{-b/2}^{+b/2} \exp(-2i\gamma x) dx.$$

В результате вычисления получим:

$$E_{\varphi} = \frac{A_0}{b} \frac{\exp(i\omega t)}{(-2i\gamma)} \int_{-b/2}^{+b/2} \exp(-2i\gamma x) d(-2i\gamma x) \Rightarrow E_{\varphi} = \frac{A_0}{b} \frac{\exp(i\omega t)}{(-2i\gamma)} \exp(-2i\gamma x) \Big|_{-b/2}^{+b/2} \Rightarrow$$

$$E_{\varphi} = \exp(i\omega t) \left\{ \frac{A_0}{\gamma b} \cdot \frac{1}{(-2i)} [\exp(-i\gamma b) - \exp(i\gamma b)] \right\} \Rightarrow$$

$$E_{\varphi} = \exp(i\omega t) \left\{ \frac{A_0}{\gamma b} \cdot \frac{1}{(2i)} [\exp(i\gamma b) - \exp(-i\gamma b)] \right\}.$$

ДИФРАКЦИЯ ФРАУНГОФЕРА ОТ ЩЕЛИ

Результат сложения всех волн, идущих от щели в заданном направлении имеет вид

$$E_{\varphi} = \exp(i\omega t) \left\{ \frac{A_0}{\gamma b} \cdot \frac{1}{(2i)} [\exp(i\gamma b) - \exp(-i\gamma b)] \right\}.$$

Выражение в фигурных скобках задает комплексную амплитуду \hat{A}_{φ} суммарного колебания.

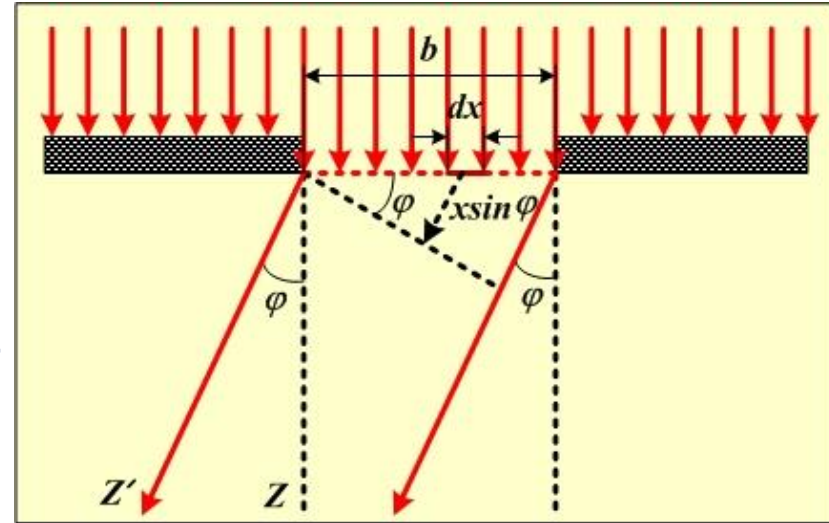
Воспользуемся формулой Эйлера:

$$\exp(i\gamma b) = \cos(\gamma b) + i \sin(\gamma b); \quad \exp(-i\gamma b) = \cos(\gamma b) - i \sin(\gamma b) \Rightarrow$$

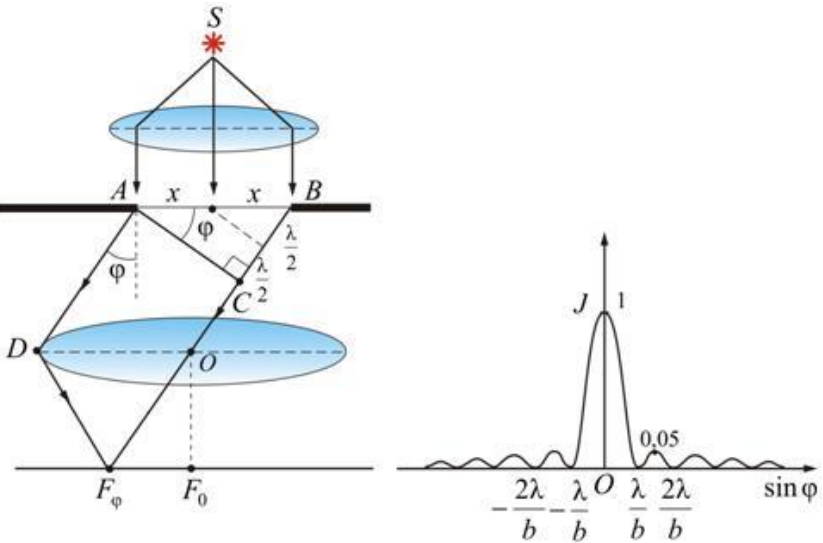
$$\exp(i\gamma b) - \exp(-i\gamma b) = 2i \sin(\gamma b).$$

После преобразования по формуле Эйлера выражение для комплексной амплитуды примет вид

$$\hat{A}_{\varphi} = \frac{A_0}{\gamma b} \cdot \frac{1}{2i} \cdot 2i \sin(\gamma b) = A_0 \frac{\sin(\gamma b)}{\gamma b}; \quad \gamma \equiv \frac{\pi}{\lambda} \sin \varphi \Rightarrow \hat{A}_{\varphi} = A_0 \frac{\sin(\pi b \sin \varphi / \lambda)}{\pi b \sin \varphi / \lambda}.$$



ДИФРАКЦИЯ ОТ ЩЕЛИ. МАКСИМУМЫ И МИНИМУМЫ



Выражение для комплексной амплитуды

$$\hat{A}_\varphi = A_0 \frac{\sin(\pi b \sin \varphi / \lambda)}{\pi b \sin \varphi / \lambda}$$

является вещественным. Его модуль определяет амплитуду результирующего колебания для волн, идущих от щели под углом φ к оптической оси системы

$$A_\varphi = A_0 \left| \frac{\sin(\pi b \sin \varphi / \lambda)}{\pi b \sin \varphi / \lambda} \right|.$$

Для точки, лежащей против центра линзы, $\varphi = 0$. Подстановка этого значения в формулу для амплитуды приводит к значению $A_\varphi(0) = A_0$.

Этот результат легко объяснить. При $\varphi = 0$ колебания от элементарных зон приходят в точку наблюдения F_0 в одинаковой фазе. Следовательно амплитуда результирующего колебания равна алгебраической сумме амплитуд складываемых колебаний от всех элементарных зон.

При значениях угла φ , удовлетворяющих условию $\pi b \sin \varphi / \lambda = \pm m\pi \Rightarrow b \sin \varphi = \pm m\lambda$ ($m = 1, 2, 3, \dots$), амплитуда A_φ обращается в нуль.

РАСПРЕДЕЛЕНИЕ ИНТЕНСИВНОСТИ

Интенсивность света пропорциональна квадрату амплитуды. Следовательно

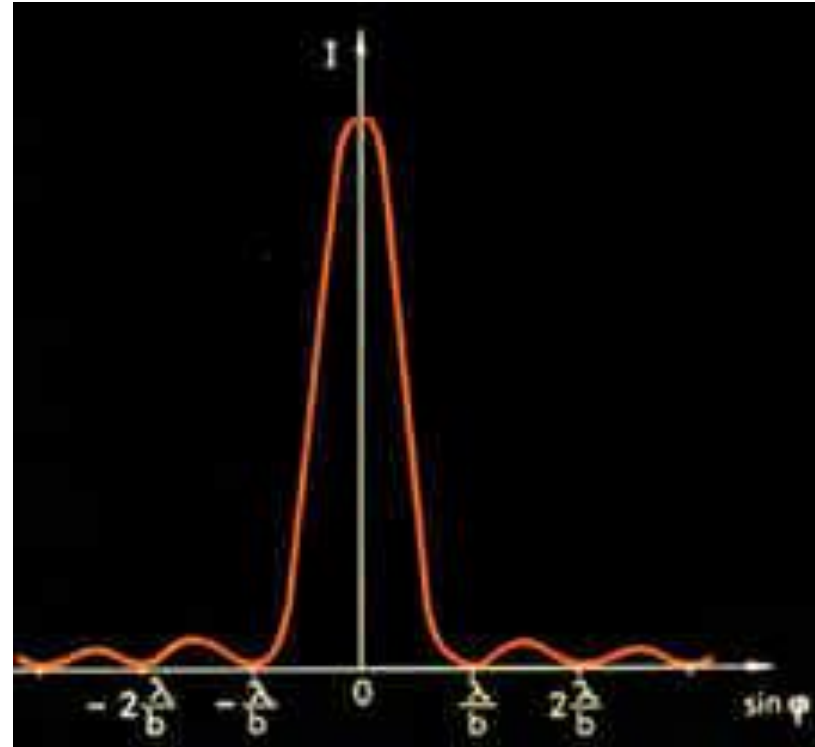
$$I_{\varphi} \sim A_{\varphi}^2 = A_0^2 \frac{\sin^2(\pi b \sin \varphi / \lambda)}{(\pi b \sin \varphi / \lambda)^2} \Rightarrow$$

$$I_{\varphi} = I_0 \frac{\sin^2(\pi b \sin \varphi / \lambda)}{(\pi b \sin \varphi / \lambda)^2},$$

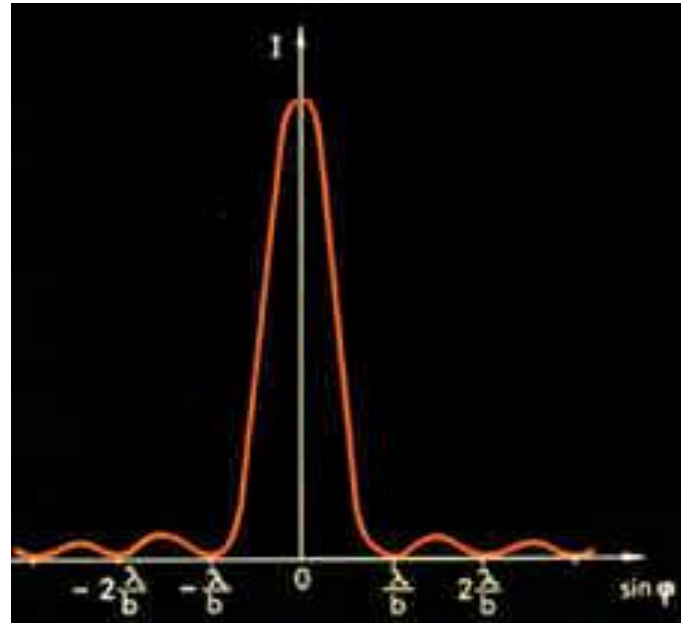
где I_0 – интенсивность света в середине дифракционной картины (против центра линзы), I_{φ} – интенсивность в точке, положение которой задается углом φ .

Дифракционная картина симметрична относительно центра линзы ($I_{\varphi} = I_{-\varphi}$).

Количество минимумов интенсивности определяется отношением ширины щели к длине волны: $b \sin \varphi = \pm m \lambda \Rightarrow \sin \varphi = \pm m \lambda / b$; $|\sin \varphi| \leq 1 \Rightarrow m \lambda / b \leq 1 \Rightarrow m \leq b / \lambda$. Если $b < \lambda$, то минимумы не возникают.



РАСПРЕДЕЛЕНИЕ ИНТЕНСИВНОСТИ



$$b \sin \varphi_{\min} = \pm m \lambda \Rightarrow b \sin \varphi_{\min} = \pm 2m \lambda / 2;$$

$$b \sin \varphi_{\max} = \pm (m + 1/2) \lambda \Rightarrow b \sin \varphi_{\max} = \pm (2m + 1) \lambda / 2.$$

Краям центрального максимума соответствуют значения угла φ_1 , получающиеся из условия

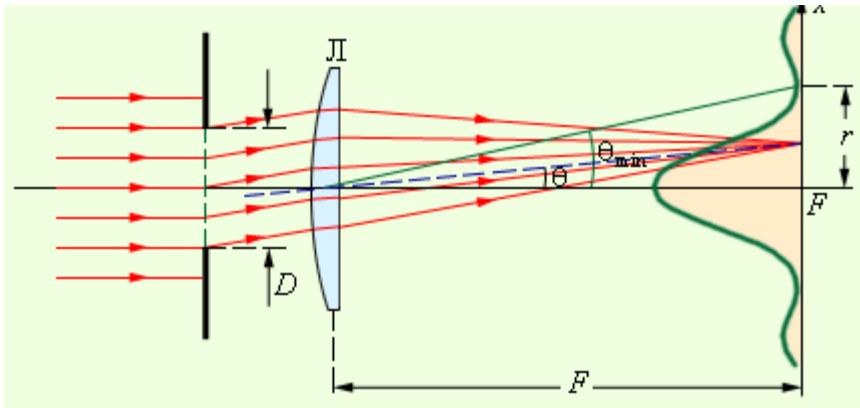
$$b \sin \varphi_1 = \pm \lambda \Rightarrow \varphi_1 = \pm \arcsin(\lambda/b).$$

Следовательно, угловая ширина центрального максимума будет равна $\delta\varphi_1 = 2 \arcsin(\lambda/b)$.

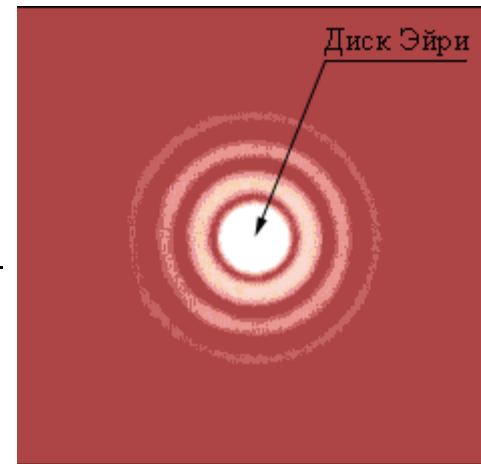
В случае, когда $b \gg \lambda$, $\sin(\lambda/b) \approx \lambda/b \Rightarrow \delta\varphi_1 \approx 2\lambda/b$. Если $b < \lambda$, то минимумы не возникают – интенсивность убывает от середины к краям.



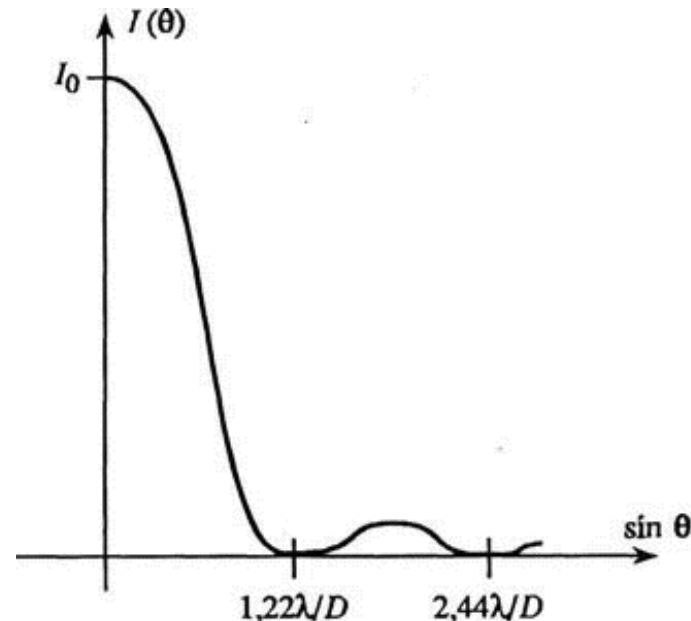
Дифракция на круглом отверстии



$$r = 1,22 \frac{\lambda}{D} F.$$



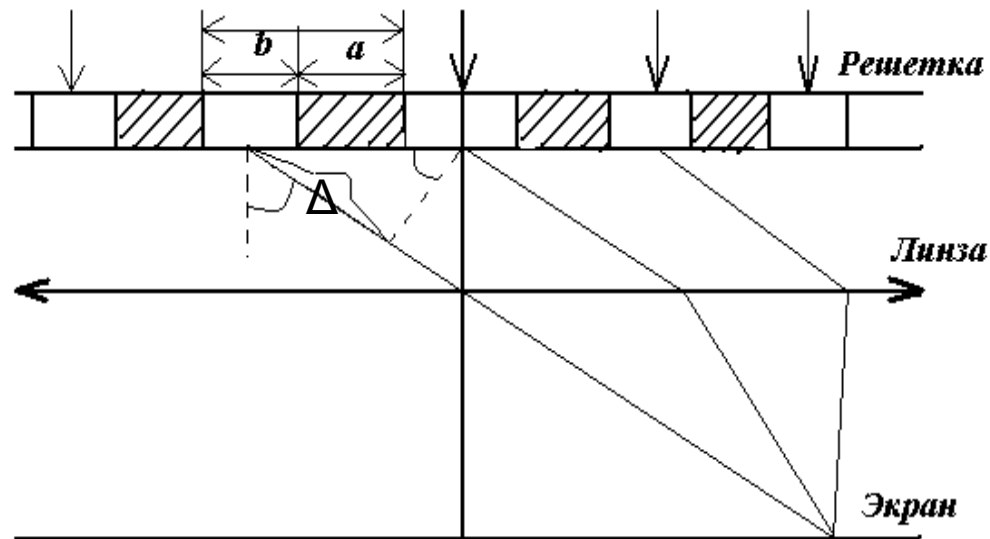
$$I(\theta) = I_0 \left[\frac{2J_1\left(\frac{kD \sin \theta}{2}\right)}{\frac{kD \sin \theta}{2}} \right]^2.$$



Дифракция Фраунгофера на дифракционной решетке

Дифракционная решетка - спектральный прибор, состоящий из большого числа (\mathbf{N}) одинаковых щелей (шириной \mathbf{b}) в непрозрачном экране, отстоящих друг от друга на одно и то же расстояние (\mathbf{a}).

Величина $\mathbf{d = a + b}$ называется **периодом** решетки.



- Наблюдаемая при дифракции Фраунгофера на решетке дифракционная картина представляет собой результат суммарной многолучевой интерференции волн от вторичных когерентных источников на каждой щели и на разных щелях.
- Ввиду строго периодического расположения щелей когерентные волны, прошедшие через разные щели, будут интерферировать между собой и дадут четкую дифракционную картину.
- Разность хода волн, прошедших через соседние щели $\Delta = d \cdot \sin\varphi$, следовательно, разность фаз этих волн $\delta = 2\pi\Delta / \lambda = 2\pi d \cdot \sin\varphi / \lambda$

$$E = A_1 \ell^{i\omega t} + A_1 \ell^{i(\omega t + \delta)} + \dots + A_1 \ell^{i(\omega t + (N-1)\delta)} =$$

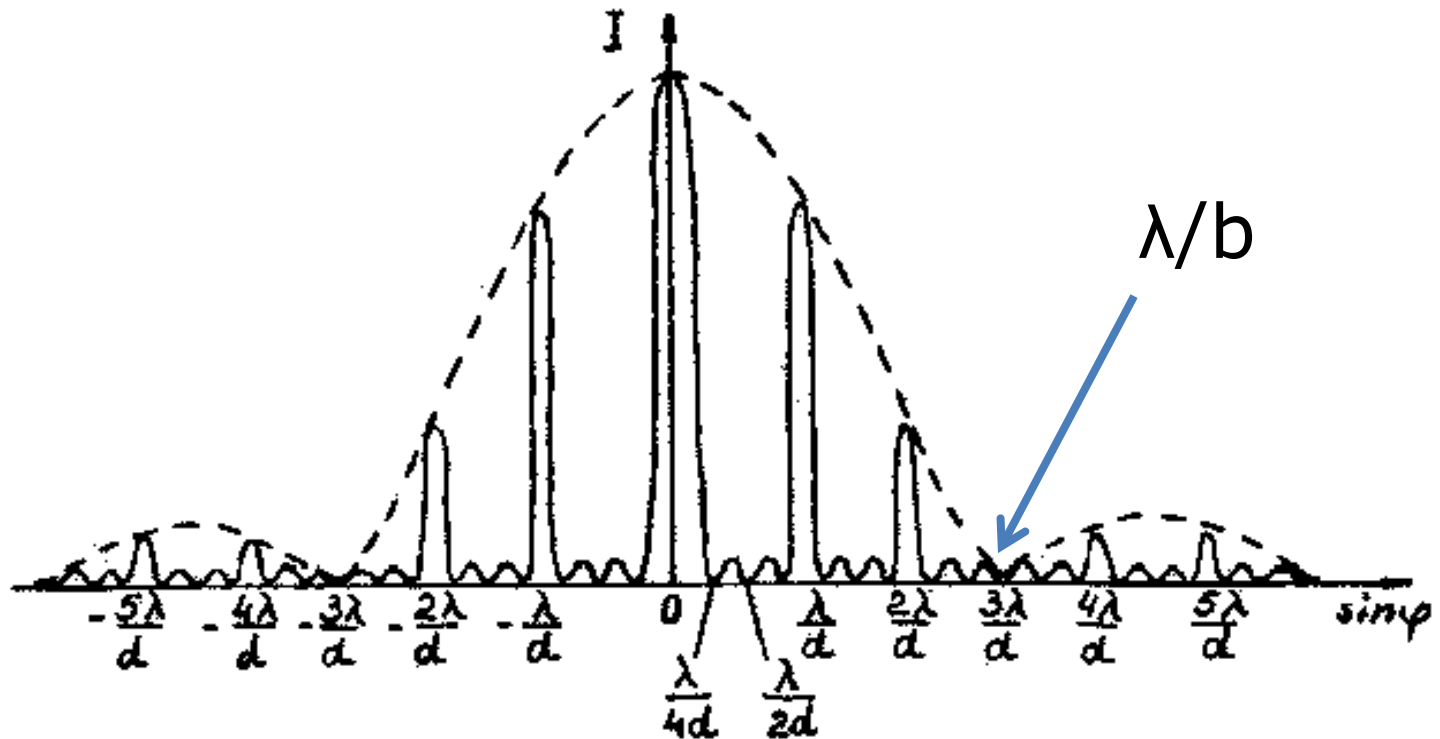
$$= A_1 \ell^{i\omega t} \sum_{m=1}^N \ell^{i(m-1)\delta} = A_1 \ell^{i\omega t} \frac{1 - \ell^{iN\delta}}{1 - \ell^{i\delta}}$$

$$I = E \times E^* = A_1^2 \frac{(1 - \ell^{iN\delta})(1 - \ell^{-iN\delta})}{(1 - \ell^{i\delta})(1 - \ell^{-i\delta})} = A_1^2 \frac{1 - \cos N\delta}{1 - \cos \delta} =$$

$$= A_1^2 \frac{\sin^2 \left(N \frac{\pi d}{\lambda} \sin \varphi \right)}{\sin^2 \left(\frac{\pi d}{\lambda} \sin \varphi \right)}$$

Распределение интенсивности при дифракции на нескольких щелях

$$I(\varphi) = I_0 \frac{\sin^2 \frac{\pi b \sin \varphi}{\lambda}}{\left(\frac{\pi b \sin \varphi}{\lambda}\right)^2} \cdot \frac{\sin^2 \left(N \frac{\pi d}{\lambda} \sin \varphi\right)}{\sin^2 \left(\frac{\pi d}{\lambda} \sin \varphi\right)}$$



- При $\varphi = 0$ в центре картины наблюдается главный максимум нулевого порядка. При $\varphi = 0$ все волны приходят в точку наблюдения в одной фазе. Амплитуда волны $A = NA_0$, где A_0 - амплитуда волны, прошедшей через одну щель. Интенсивность волны $I = N^2 I_0$. Этот результат является следствием интерференции когерентных волн (N некогерентных источников дают интенсивность $I = N I_0$).
- При углах φ , удовлетворяющих условию

$$d \cdot \sin \varphi = \pm m \lambda,$$

разность фаз волн, прошедших через соседние щели,

$$\Delta \varphi = \pm m \lambda \cdot 2\pi / \lambda = \pm 2\pi m,$$

волны приходят в точку наблюдения в одной фазе- **главные максимумы m -го порядка.**

- Между главными максимумами расположены минимумы $(N-1)$ и побочные максимумы. Условия минимумов:
$$d \sin \varphi = \pm (m + k/N) \lambda,$$

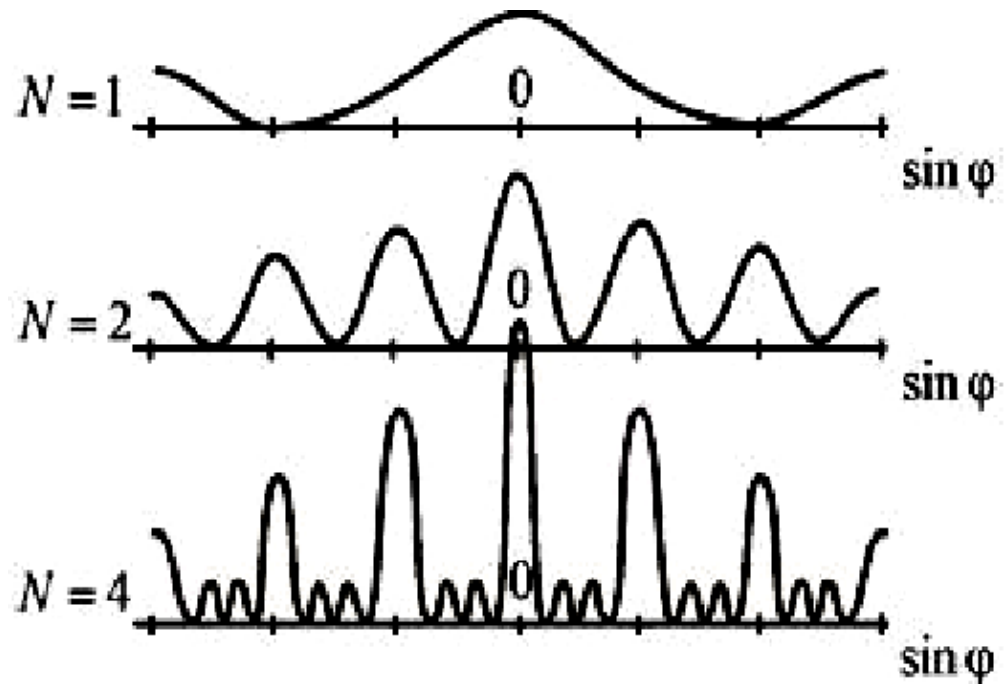
где $k = 1, 2, 3, \dots, N-1$

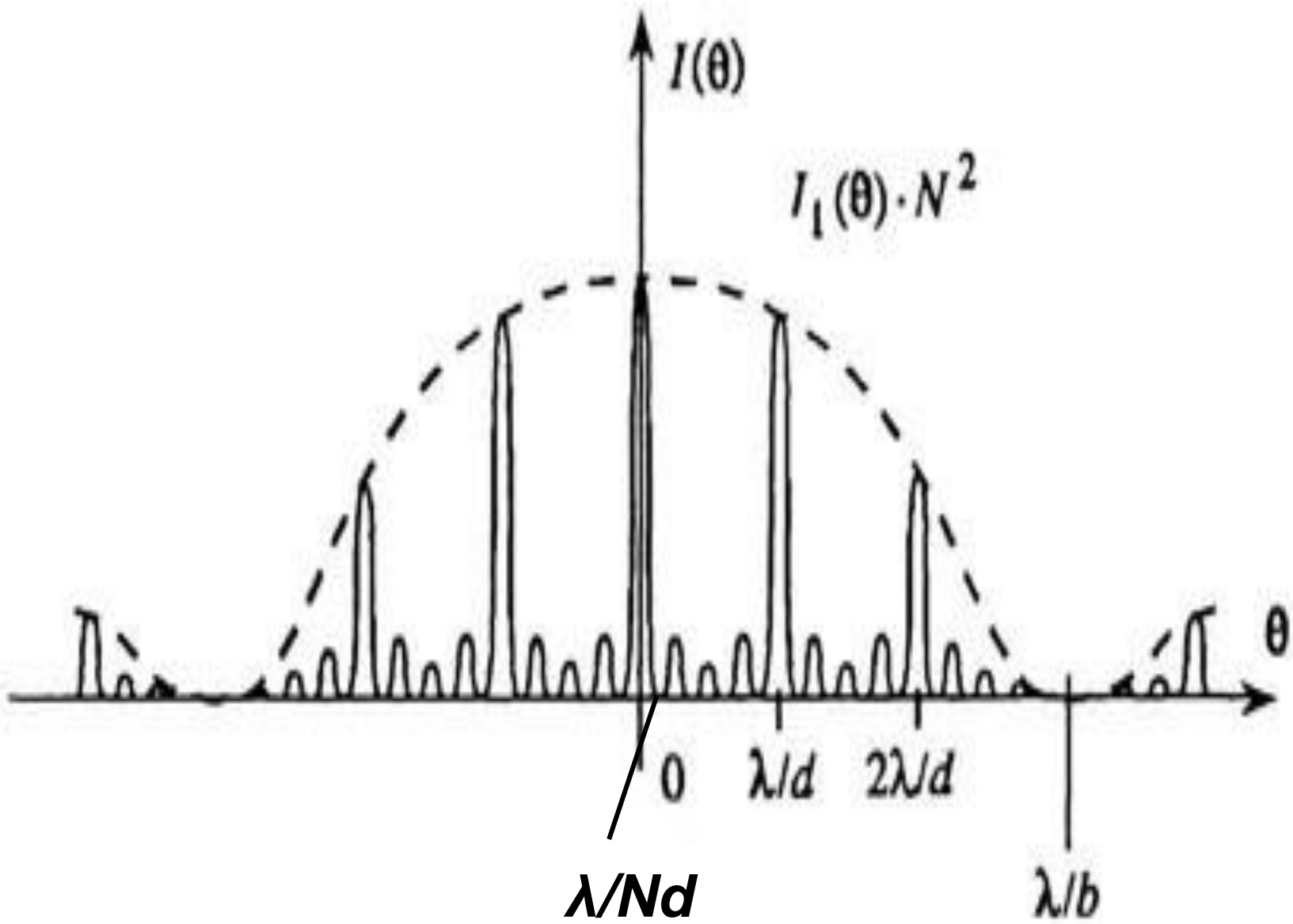
Эти минимумы интерференционные и обусловлены взаимным гашением волн, прошедших через все щели.

- По-прежнему наблюдаются минимумы в

направлениях, когда

$$b \sin \varphi = \pm m \lambda.$$





Для дифракционной решетки:

Условие главных максимумов

$$d \sin \varphi = \pm m \lambda$$

$m=0,1,2,\dots$ - номер максимума

Условие главных минимумов

$$b \sin \varphi = \pm m \lambda$$

$m=1,2,\dots$ - номер (порядок) минимума

Условие доп. минимумов

$$d \sin \varphi = \pm (m + k' / N) \lambda$$

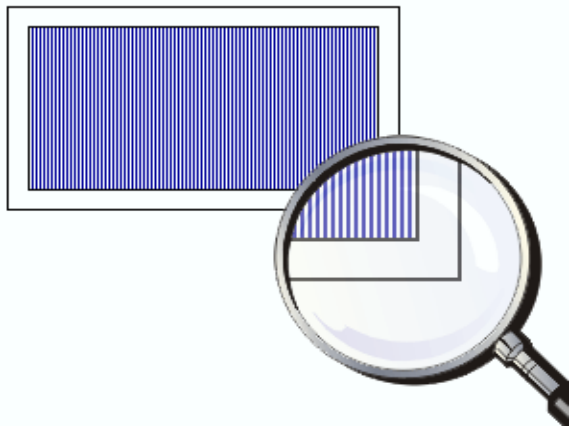
k' - целое число не кратное N $k' \neq 2mN$

- Дифракционная картина выражена тем резче, чем больше число щелей N . Действительно, **угловая ширина центрального максимума** определяется условием первого минимума (4):

$$\Delta\varphi = 2 \arcsin(\lambda / Nd),$$

что в $Nd/b \approx N$ раз меньше, чем при дифракции на одной щели.

- Положение всех главных максимумов, кроме нулевого, зависит от длины волны. Поэтому главные максимумы различных длин волн будут разделены на экране; таким образом, **дифракционная решетка будет производить разложение некогерентного излучения на спектральные составляющие.**



- На **стеклянных** решетках наблюдения можно производить как в проходящем, так и в отраженном свете, на **металлических** - только в отраженном.
- Наиболее типичные дифракционные решетки, которые используются для работы в видимом диапазоне спектра (390 - 780 нм) имеют от 300 до 1600 штрихов/мм.

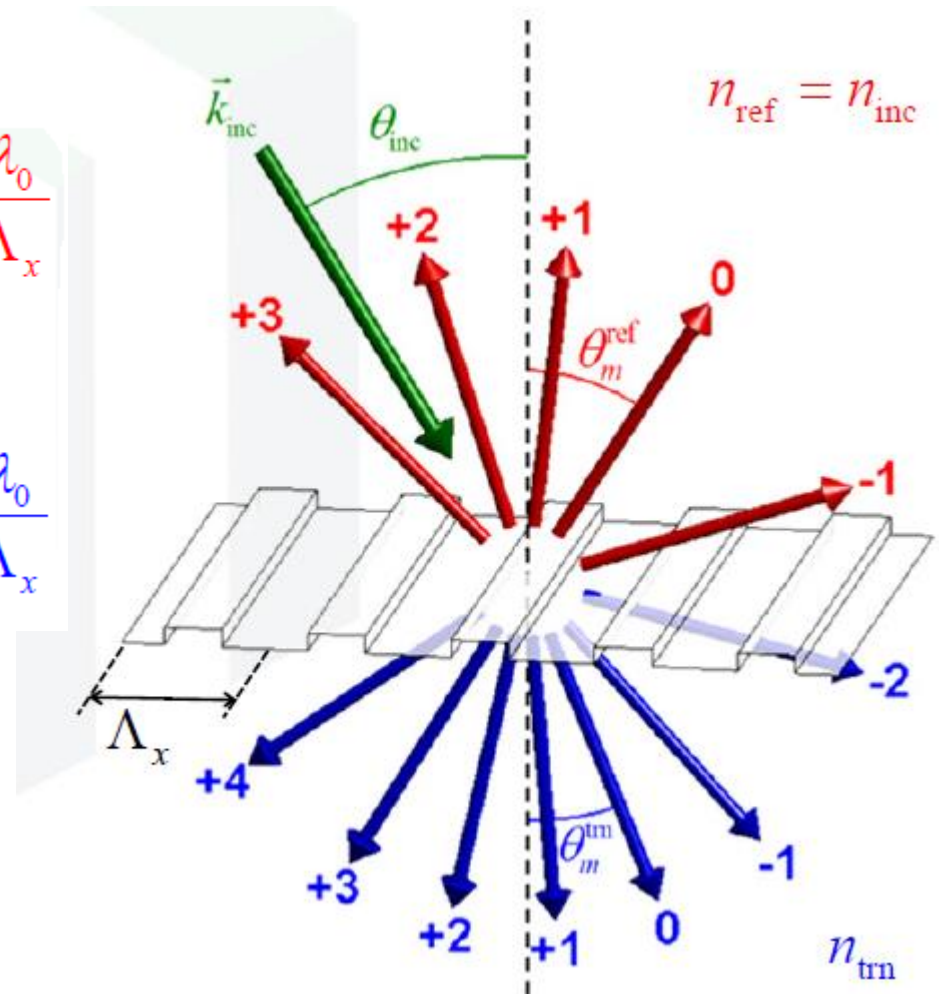
Уравнение дифракционной решетки

Reflection Region

$$n_{\text{ref}} \sin[\theta(m)] = n_{\text{inc}} \sin \theta_{\text{inc}} - m \frac{\lambda_0}{\Lambda_x}$$

Transmission Region

$$n_{\text{trn}} \sin[\theta(m)] = n_{\text{inc}} \sin \theta_{\text{inc}} - m \frac{\lambda_0}{\Lambda_x}$$



ДИФРАКЦИОННАЯ РЕШЕТКА КАК СПЕКТРАЛЬНЫЙ ПРИБОР

Положение главных максимумов зависит от длины волны: $d \sin \varphi = \pm m \lambda$. Поэтому при пропускании через решетку белого света все максимумы, кроме центрального, будут разложены в спектр. Фиолетовый фланг этого спектра обращен к центру дифракционной картины, а красный – наружу.

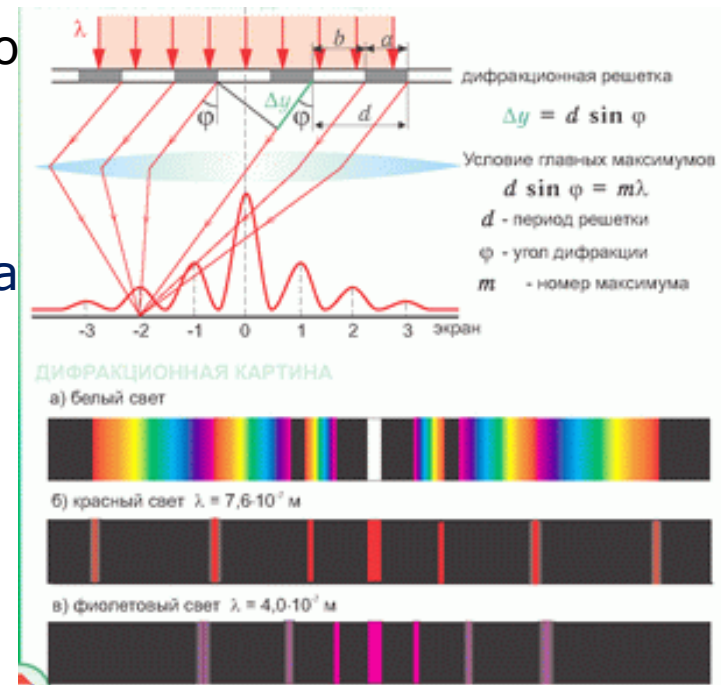
В центре лежит узкий нулевой максимум; у него окрашены только края, так как ширина центрального максимума $\delta\varphi_0$ зависит от λ .

По обе стороны от центрального максимума расположены два спектра 1-го порядка, затем два спектра 2-го порядка и т. д.

Положение красного конца спектра порядка m и фиолетового порядка $m + 1$ будет

$$d \sin \varphi_{\kappa} = m \lambda_{\kappa}; \quad d \sin \varphi_{\phi} = (m + 1) \lambda_{\phi};$$

$$\varphi_{\kappa}(m) > \varphi_{\phi}(m + 1) \Rightarrow m \lambda_{\kappa} > (m + 1) \lambda_{\phi} \Rightarrow m > 10/9.$$

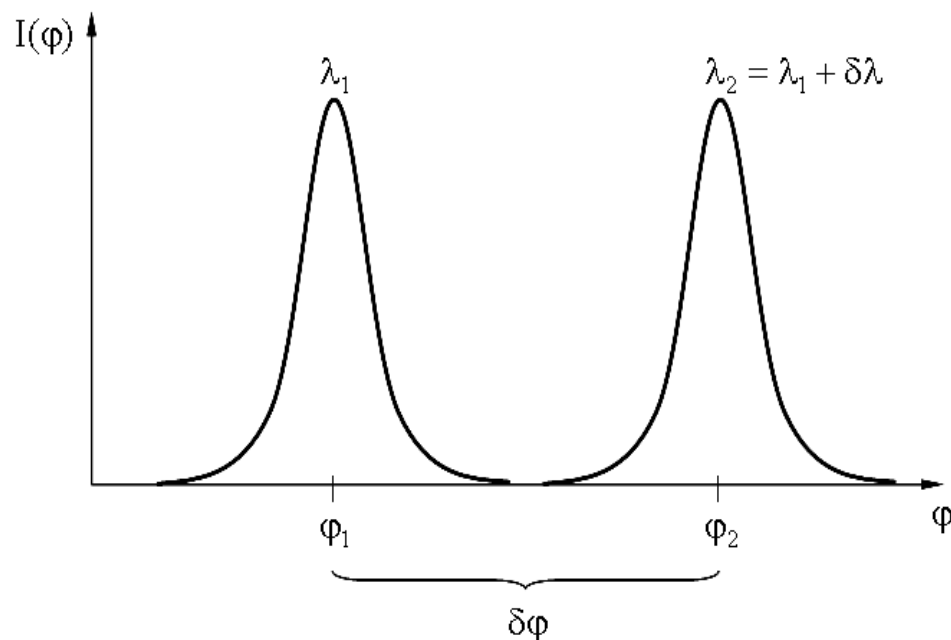


- Дисперсия - угловое (или линейное) расстояние между двумя спектральными линиями, отличающимися по длине волны на единицу (например, на 1 мкм).

- **Угловая дисперсия**

$$D_{\varphi} = \frac{d\varphi}{d\lambda} = \frac{m}{d \cos \varphi} \approx \frac{m}{d}$$

- **Линейная дисперсия**
(расстояние на экране)
 $D = D_{\varphi} \cdot F$, где F –
фокусное расстояние
линзы.

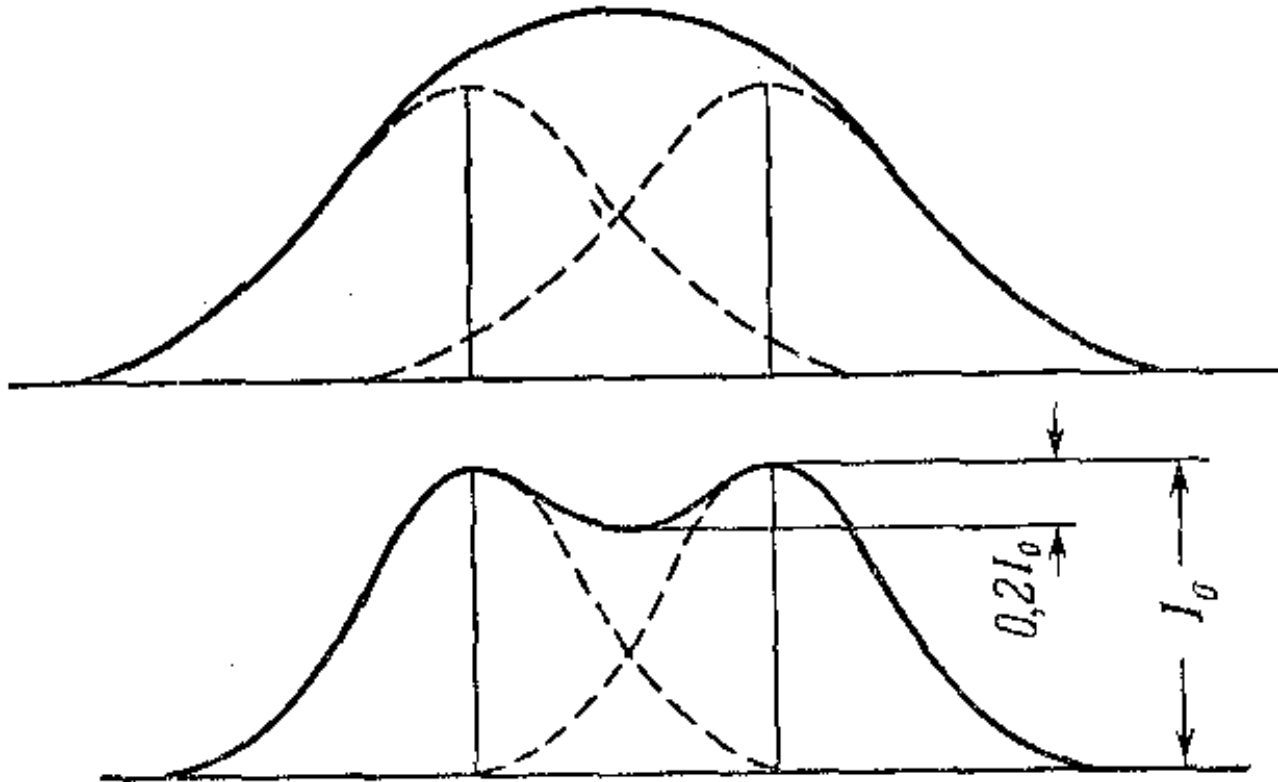


- **Разрешающая сила** определяется минимальной разностью длин волн, при которой две линии в спектре воспринимаются отдельно.

$$R = \frac{\lambda}{\delta\lambda}$$

- Согласно **критерию Рэля** две линии в спектре воспринимаются отдельно (считаются разрешенными), если дифракционный максимум первой линии совпадает (или лежит дальше) с минимумом второй линии.

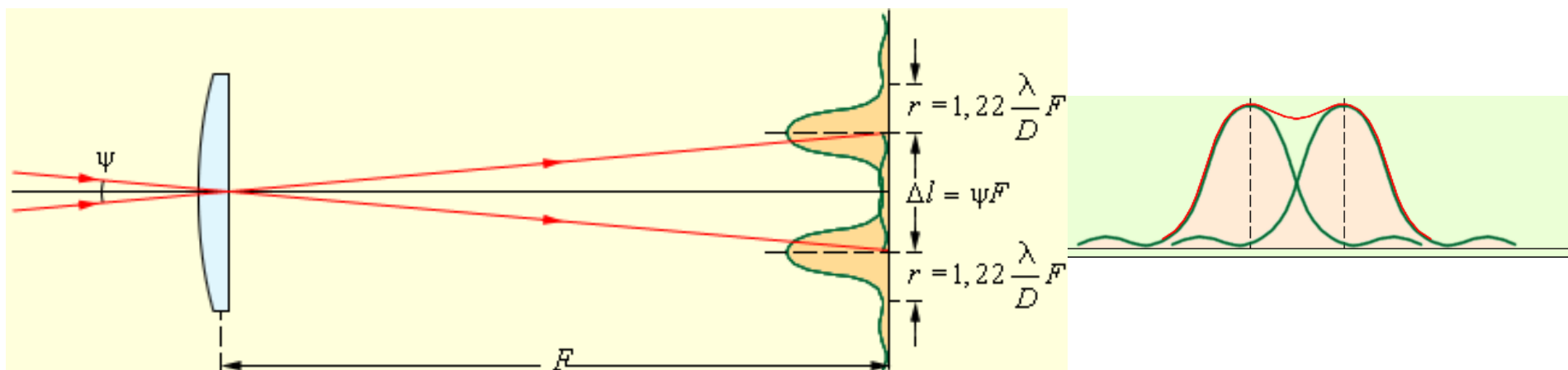
КРИТЕРИЙ РЭЛЕЯ



Минимум интенсивности одной линии должен совпадать с максимумом другой.

РАЗРЕШАЮЩАЯ СПОСОБНОСТЬ

Критерий Рэля



$$\Delta l_{\min} = \psi_{\min} \cdot F = 1,22 \frac{\lambda}{D} F \quad \text{или} \quad \psi_{\min} = 1,22 \frac{\lambda}{D}$$

Разрешающая способность глаза

$d = 3 \text{ мм} \rightarrow$

$\theta_{\min} = 1,22 \lambda/d = 2,3 \cdot 10^{-4} \text{ рад} \approx 1'$

Дифракционный предел

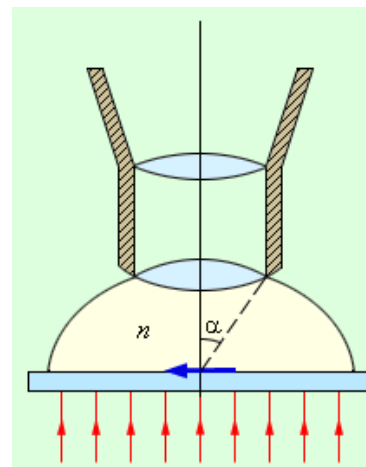
Минимально возможный размер светового пятна, которое можно получить, фокусируя свет заданной длины волны в среде с показателем преломления n :



Эрнст Аббе 1873

$$d_{\min} = \frac{\lambda}{2n}$$

Для микроскопа



$$l_{\min} = \frac{0,61\lambda}{n \sin \alpha}$$

